



# БИООРГАНИЧЕСКАЯ ХИМИЯ

том 10 \* №12 \* 1984

УДК 547.458.8.02:577.114.5

## СТРУКТУРА АРАБИНОГАЛАКТАНА ДРЕВЕСИНЫ ЛИСТВЕННИЦЫ СИБИРСКОЙ (*LARIX SIBIRICA* LEDEB.)

Антонова Г.Ф., Усов А.И.\*

Институт леса и древесины им. В. Н. Сукачева Сибирского отделения  
Академии наук СССР, Красноярск;

\* Институт органической химии им. Н. Д. Зелинского Академии наук СССР,  
Москва

С помощью методов метилирования, расщепления по Смиту, спектроскопии  $^{13}\text{C}$ -ЯМР, частичного гидролиза и щелочной деградации изучено строение водорасстворимого арабиногалактана, выделенного из древесины сибирской лиственницы. Арабиногалактан имеет высокоразветвленную структуру, в основе которой лежит главная цепь из 1→3-связанных  $\beta$ -D-галактопиранозных остатков, большинство из которых несет боковые ответвления при C-6. В ответвлениях содержатся остатки 3-O-замещенной арабинофуранозы и 6-O-замещенной галактопиранозы, а также 3,6-ди-O-замещенные остатки галактопиранозы; концевыми невосстановливающими остатками являются арабинофураноза, арабинопираноза и галактопираноза.

Высокоразветвленные арабиногалактаны (АГ), основа молекулы которых построена из остатков  $\beta$ -D-галактопиранозы с преобладанием связей 1→3 в главной цепи и 1→6 в ответвлениях, содержатся во многих растительных тканях [1, 2]; богатым источником их служит древесина лиственниц. Наиболее детально исследовано строение арабиногалактана из лиственницы западной (*Larix occidentalis*); в США осуществлено промышленное получение этого полисахарида [3] для использования в качестве эмульгатора, связующего компонента или нетоксичной пищевой добавки. Для арабиногалактапов лиственниц, произрастающих в нашей стране, предложены способы крупномасштабного выделения и разнообразные области применения [4], однако подробные структурные исследования не проводились. Настоящая работа посвящена изучению строения арабиногалактана, выделенного из древесины лиственницы сибирской *Larix sibirica* Ledeb.

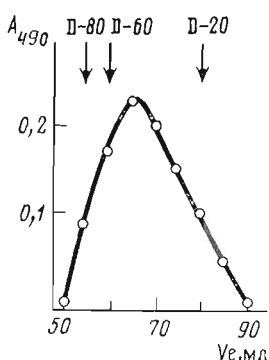


Рис. 1. Гель-хроматография АГ и декстратов D-80, D-60 и D-20 на колонке с сефадексом G-75

ло 40 000 (рис. 1),  $[\alpha]_D$  +40° (вода), и содержал D-галактозу и L-арабинозу в мольном отношении 7,5 : 1; уроновые кислоты отсутствовали.

Типы связей моносахаридных звеньев в арабиногалактане были установлены методом метилирования. Полностью метилированный арабиногалактан, полученный трехкратной обработкой полисахарида по методу Хакомори [6], гидролизовали, продукты гидролиза восстанавливали, ацетилировали и анализировали методом хроматомасс-спектрометрии [7]. Результаты анализа представлены в табл. 1. Из данных метилирования следует, что арабиногалактан представляет собой высокоразветвленную молекулу, в которой главными звеньями являются остатки галактопиранозы, не имеющие заместителей (концевые), несущие один заместитель в положении 6 или же два заместителя в положениях 3 и 6 (точки ветвле-

Таблица 1

Продукты метилирования арабиногалактана (I), полимерной фракции после его частичного гидролиза (II) и вещества, полученного трехкратным расщеплением арабиногалактана по Смиту (III)

Производные полиолов	$T_{\text{отн}}$	Относительное содержание		
		I	II	III
1,4-Ac <sub>2</sub> -2,3,5-Me <sub>3</sub> -арabit	0,42	0,09	0,03	
1,5-Ac <sub>2</sub> -2,3,4-Me <sub>3</sub> -арabit	0,51	0,09	0,06	
1,3,4-Ac <sub>3</sub> -2,5-Me <sub>2</sub> -арabit	0,65	0,10	0,06	
1,5-Ac <sub>2</sub> -2,3,4,6-Me <sub>4</sub> -дульцит	1,00	1,00	1,00	1,00
1,3,5-Ac <sub>3</sub> -2,4,6-Me <sub>3</sub> -дульцит	1,39	0,16	0,10	14,05
1,5,6-Ac <sub>3</sub> -2,3,4-Me <sub>3</sub> -дульцит	1,70	0,80	0,76	
1,3,5,6-Ac <sub>4</sub> -2,4-Me <sub>2</sub> -дульцит	2,36	0,83	0,81	

Примечание. ГЖХ, времена удерживания  $T$  и площади пиков измеряли относительно 1,5-ди-O-ацтил-2,3,4,6-тетра-O-метилдульцита ( $T$  5,75 мин).

ния); в существенно меньших количествах имеются концевые остатки арабинофуранозы и арабинопиранозы, а также остатки арабинофуранозы с заместителем в положении 3 и 3-O-замещенные остатки галактопиранозы. Фуранозную форму имеют около двух третей остатков арабинозы, содержащихся в полисахариде.

При частичном гидролизе в условиях расщепления фуранозидных связей и последующем осаждении смесью метанол — ацетон, 1 : 1, из арабиногалактана были получены высокомолекулярная фракция (главный продукт) и низкомолекулярная фракция, в составе которой кроме арабинозы и галактозы были найдены два олигосахарида (табл. 2). Преимущественное отщепление арабинозы и одновременное сохранение части остатков арабинозы в полимерной фракции согласуется с данными метилирования о том, что арабиноза находится как в фуранозной, так и в пиранозной

Таблица 2

Моносахаридный состав арабиногалактана и фракций, полученных при его частичном гидролизе \*

Образец	Gal/Ara, моль/моль
Арабиногалактан	7,5 : 1
Полимерная фракция	10 : 1
Низкомолекулярная фракция	0,35 : 1

\* ГЖХ продуктов полного гидролиза в виде ацетатов полиолов; до гидролиза в низкомолекулярной фракции обнаружены галактоза и арабиноза в соотношении 0,59:1 и олигосахарида с  $R_{\text{Gal}} 0,24$  и 0,75 (БХ).

Таблица 3

Моносахаридный состав продуктов расщепления арабиногалактана по Смиту (Gal/Ara, моль/моль)

Образец	Gal/Ara, моль/моль	Количество обработок	Полимерная фракция	Низкомолекулярная фракция	
				до полного гидролиза	после полного гидролиза
Арабиногалактан	7,5 : 1	1	9,22 : 1	1,27 : 1	0,65 : 1
Полимерная фракция	10 : 1	2	95 : 1	Ara	0,87 : 1
Низкомолекулярная фракция	0,35 : 1	3	Gal	Ara	—

формах. Появление галактозы в гидролизате на первый взгляд противоречит результатам метилирования, но может объясняться обилием концевых остатков этого моносахарида, которые, несмотря на пиранозную форму, способны отщепляться уже в сравнительно мягких условиях. Образование галактозы и галактобиозы при мягком кислотном гидролизе отмечалось для арабиногалактанов из других источников [2]. В целом частичный гидролиз затрагивает лишь концевые участки полимера и мало изменяет макромолекулу, о чем свидетельствуют данные ультрацентрифугирования и результаты метилирования полимерной фракции (табл. 1), а также спектры  $^{13}\text{C}$ -ЯМР (см. ниже).

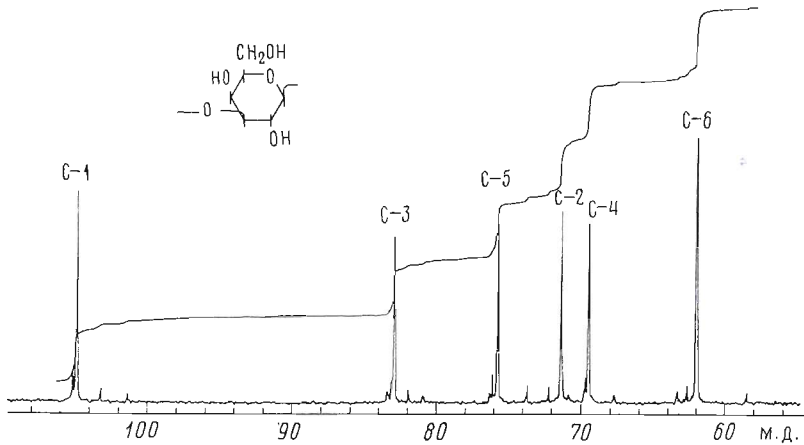


Рис. 2. Спектр  $^{13}\text{C}$ -ЯМР продукта трехкратной обработки АГ по Смиту

Для выяснения общего плана построения молекулы арабиногалактана было проведено трехкратное расщепление полисахарида по Смиту. Мягкий гидролиз после каждой обработки проводили 1 М трифторуксусной кислотой и осаждали полимерную фракцию смесью метанол — ацетон, 1 : 1. Состав полученных фракций приведен в табл. 3. Деградированный полисахарид даже после двух ступеней окисления содержит наряду с галактозными арабинозные остатки. Это означает, по-видимому, что некоторые 3-О-замещенные остатки арабинозы непосредственно присоединены к центральной галактановой цепи. По данным ультрацентрифугирования, высокомолекулярная фракция после первой обработки по Смиту содержит не менее трех компонентов, различающихся по молекулярной массе, а после второго расщепления по Смиту аналогичная фракция представляет собой один компонент с молекулярной массой ниже 15 000. Растворимость полимерных фракций в воде заметно уменьшается с каждой обработкой по Смиту, несмотря на снижение молекулярной массы, что свидетельствует об уменьшении степени разветвленности молекулы.

Высокомолекулярная фракция, полученная после третьей обработки по Смиту, имеет молекулярную массу около 10 000. Ее строение следует из данных метилирования (табл. 1) и спектра  $^{13}\text{C}$ -ЯМР, который (с точностью до малоинтенсивных миорных пиков) соответствует линейному  $\beta\text{-}1\rightarrow3$ -галактопиранану (рис. 2). Этот спектр отличается от спектра  $^{13}\text{C}$ -ЯМР исходного арабиногалактана (рис. 3) тем, что наиболее интенсивные сигналы в последнем принадлежат концевым невосстанавливающим или 6-O-замещенным остаткам  $\beta$ -галактопиранозы; сигналы небольшой интенсивности отвечают углеродным атомам остатков арабинофуранозы и арабинопиранозы. Отнесение сигналов в спектрах проведено сравнением со спектрами метил- $\beta$ -D-галактопиранозида, его 3-O-метил- и 3,6-di-O-метилпроизводных [8], ряда олигосахаридов, содержащих 3-O-замещенные остатки D-галактопиранозы [9], а также метиларабинозидов [10]. Интерпретация миорных пиков предположительна, тем не менее  $\beta$ -конфигурация остатков L-арабинопиранозы в полисахариде следует из положения сигнала C-5 при 64,5 м.д. и соответствующего ему сигнала C-1 в районе 101 м.д.; о  $\beta$ -конфигурации остатков L-арабинофуранозы свидетельствует отсутствие в спектре сигналов в районе 109—110 м.д., характерных для C-1  $\alpha$ -арабинофуранозидов [10]. Спектр  $^{13}\text{C}$ -ЯМР полимерной фракции, полученной при частичном гидролизе арабиногалактана, отличается от спектра исходного полисахарида только отсутствием миорных пиков, относящихся к углеродным атомам остатков арабинофуранозы.

Наличие в молекуле арабиногалактана центральной  $\beta\text{-}1\rightarrow3$ -галактановой цепи приводит к тому, что полисахарид при нагревании со щелочью

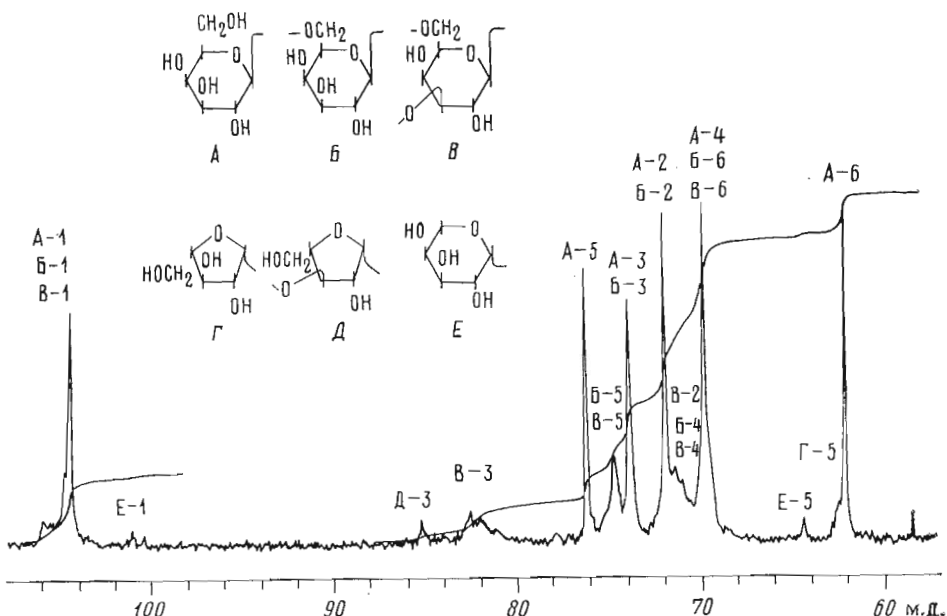


Рис. 3. Спектр  $^{13}\text{C}$ -ЯМР АГ (цифра в обозначении пика соответствует номеру углеродного атома в мономерном звене)

претерпевает глубокое расщепление (ср. [11]). Как показала гель-хроматография на сефадексе G-25, продукты щелочной деградации представляют собой набор олигосахаридных фрагментов, которые можно, очевидно, использовать в дальнейшем для более детального исследования структуры боковых цепей арабиногалактана.

Исходя из всех полученных данных, можно заключить, что арабиногалактан сибирской лиственницы по основным особенностям строения сходен с аналогичными полисахаридами других видов лиственниц [1, 2]. Он имеет высокоразветвленную молекулу с главной цепью, построенной преимущественно из 1 $\rightarrow$ 3-связанных  $\beta$ -D-галактопиранозных остатков большинство из которых несет боковые ответвления при C-6. Боковые цепи содержат 3,6-ди-O- и 6-O-замещенные остатки  $\beta$ -D-галактопиранозы и 3-O-замещенные остатки  $\beta$ -L-арабинофуранозы, а концевыми невосстанавливющими остатками являются  $\beta$ -D-галактопираноза,  $\beta$ -D-арабинофураноза и  $\beta$ -L-арабинопираноза.

### Экспериментальная часть

Гель-хроматографию проводили на колонке (1,9 $\times$ 70 см) с сефадексом G-75, откалиброванной по декстранам с молекулярной массой 20 000, 60 000 и 80 000, и на колонке (1,9 $\times$ 58 см) с сефадексом G-25 при промывании водой. Содержание сахаров во фракциях определяли по реакции с фенолом и конц.  $\text{H}_2\text{SO}_4$  [12].

Для определения моносахаридного состава 10 мг полисахарида в 1 мл 1 н.  $\text{H}_2\text{SO}_4$  нагревали 3,5 ч при 100° С, гидролизат нейтрализовали  $\text{BaCO}_3$ , фильтровали, деионизировали катионитом КУ-2 ( $\text{H}^+$ -форма) и использовали для хроматографического анализа.

БХ выполняли на бумаге Filtrak FN-11 в системе растворителей бутанол-1 — пиридин — вода (6 : 4 : 3), ТСХ — на пластинках Silufol, импрегнированных 0,3 М  $\text{Na}_2\text{HPO}_4$ , в системе растворителей бутанол-1 — ацетон — вода (2 : 7 : 1). Зоны восстанавливающих сахаров обнаруживали кислым анилинфталатом.

ГЖХ выполняли на хроматографе Руе Unicam 104 с пламенно-ионизационным детектором, скорость  $\text{N}_2$  50 мл/мин. Нейтральные моносахариды анализировали в виде ацетатов полиолов [13] на колонке (0,6 $\times$ 120 см)

с 3% ECNSS-M на хромосорбе Q при 180° С, ацетаты частично метилированных полиолов — на колонке (0,6×120 см) с 3% OV-1 на диатомите С при 180° С. Хроматомасс-спектрометрию ацетатов частично метилированных полиолов проводили на приборе Varian MAT 111 на колонке (0,3×100 см) с 5% OV-1 на хромосорбе Q при программированном повышении температуры от 110 до 250° С со скоростью 8° С/мин.

Спектры  $^{13}\text{C}$ -ЯМР получали на спектрометре Bruker WM-250 для 2% растворов полисахаридов в  $\text{D}_2\text{O}$  при 35° С. Химические сдвиги измеряли относительно диметилсульфоксида как внутреннего стандарта и пересчитывали относительно тетраметилсилана по уравнению  $\delta_{\text{tms}} = \delta_{\text{dms}} + 39,5$  м.д.

Ультрацентрифугирование выполняли на центрифуге Beckman E для 0,7% водных растворов полисахаридов при 20° С и 60 000 об/мин.

*Выделение арабиногалактана.* Опилки древесины 150-летней лиственницы обрабатывали водой (1:10 по весу) при 20° С с перемешиванием и сменой растворителя через каждые 12 ч до полного извлечения водорасстворимых углеводов (контроль по реакции с фенолом и конц.  $\text{H}_2\text{SO}_4$ ). После отделения опилок объединенный раствор концентрировали, прибавляли 8 объемов этанола, осадок отделяли, промывали этанолом, эфиrom и сушили над  $\text{CaCl}_2$ . 5 г полученного препарата растворяли в 10 мл воды, центрифугировали для удаления нерастворимых частиц, раствор наносили на колонку (2×65 см) с DEAE-целлюлозой в фосфатной форме. Элюцию проводили 0,05 М  $\text{NaH}_2\text{PO}_4$ , собирая фракции по 10 мл. Фракции 9—17 объединяли, дialisировали против дистиллированной воды, концентрировали и осаждали арабиногалактан этанолом, как описано выше; выход 90% от написенного на колонку вещества.

*Метилирование.* 50 мг полисахарида растворяли в DMSO и обрабатывали метилсульфинилкарбанионом и  $\text{CH}_3\text{I}$  [14]. По окончании реакции смесь разбавляли хлороформом, дialisировали, концентрировали в вакууме и лиофилизовали. Полученное вещество еще дважды обрабатывали метилирующими агентами в тех же условиях. Метилированный полисахарид растворяли в 2 мл 85%  $\text{HCOOH}$ , нагревали 1 ч при 100° С, упаривали, остатки кислоты отгоняли с водой, продукты формолиза растворяли в 2 мл 1 н.  $\text{H}_2\text{SO}_4$  и нагревали 7 ч при 100° С. Раствор нейтрализовали  $\text{BaCO}_3$ , метилированные моносахариды восстанавливали  $\text{NaBH}_4$  и ацетилировали [15], полученную смесь исследовали методами ГЖХ и хроматомасс-спектрометрии (табл. 1).

*Расщепление по Смиту.* Раствор 4 г арабиногалактана в 400 мл 0,15 М  $\text{NaIO}_4$  выдерживали 3 сут в темноте при 4° С, прибавляли 2 мл этиленгликоля, через 1 ч раствор дialisировали, обрабатывали 4 г  $\text{NaBH}_4$  в течение 4 сут, снова дialisировали, концентрировали и лиофилизовали. Остаток растворяли в 400 мл 1 М трифторуксусной кислоты, выдерживали 48 ч при 20° С, концентрировали в вакууме до 65 мл и приливали 260 мл смеси метанол — ацетон, 1:1. Осадок отделяли, промывали ацетоном и высушивали над  $\text{CaCl}_2$ . Выход 1,27 г. Для повторной обработки в тех же условиях использовали 1 г этого вещества и 100 мл 0,1 М  $\text{NaIO}_4$ . Выход полимерной фракции 0,51 г. Для третьего окисления использовали 0,45 г этой фракции и 100 мл 0,07 М  $\text{NaIO}_4$ ; выход полимерного продукта 0,14 г. Низкомолекулярные фракции получали упариванием соответствующих маточных растворов (табл. 3).

*Щелочная деградация.* 50 мг арабиногалактана растворяли в 17,5 мл 0,1 н.  $\text{NaOH}$ , деаэрировали, пропуская азот, и нагревали в атмосфере азота 24 ч при 78° С. Раствор нейтрализовали  $\text{CO}_2$ , концентрировали и использовали для гель-хроматографии на колонке с сефадексом G-25.

## ЛИТЕРАТУРА

1. Clarke A. E., Anderson R. L., Stone B. A. Phytochemistry, 1979, v. 18, № 4, p. 521—540.
2. Timell T. E. Adv. Carbohydr. Chem., 1965, v. 20, p. 409—483.
3. Adams M. F., Ettling B. V. In: Industrial Gums/Ed. Whistler R. L., BeMiller J. N. N. Y.: Acad. Press, 1973, p. 415—427

4. Антонова Г. Ф., Тюкаевина Н. А. Химия древесины, 1983, № 2, с. 89–96.  
 5. Антонова Г. Ф. Химия древесины, 1977, № 4, с. 97–100.  
 6. Hakomori S.-I. J. Biochem., 1964, v. 55, № 2, p. 205–208.  
 7. Björndal H., Hellerqvist C. G., Lindberg B., Svensson S. Angew. Chem. Int. Ed. Eng., 1970, v. 9, № 8, p. 610–619.  
 8. Усов А. И., Яроцкий С. В. Биоорган. химия, 1977, т. 3, № 6, с. 746–751.  
 9. Шашков А. С., Усов А. И., Книрель Ю. А., Дмитриев Б. А., Кошетков Н. Р. Биоорган. химия, 1981, т. 7, № 9, с. 1364–1371.  
 10. Gorin P. A. J., Mazurek M. Can. J. Chem., 1975, v. 53, № 8, p. 1212–1223.  
 11. Young R. A., Sarkany K. V. Carbohydr. Res., 1977, v. 59, № 1, p. 193–201.  
 12. Dubois M., Gilles K. A., Hamilton J. K., Rebers P. A., Smith F. Anal. Chem., 1956, v. 28, № 3, p. 350–356.  
 13. Слонекер Дж. В кн.: Методы исследования углеводов. М.: Мир, 1975, с. 22–25.  
 14. Конрад Г. Е. В кн.: Методы исследования углеводов. М.: Мир, 1975, с. 276–278.  
 15. Джонс Г. Дж. В кн.: Методы исследования углеводов. М.: Мир, 1975, с. 26–37.

Поступила в редакцию  
29.V.1984

**STRUCTURE OF ARABINOGALACTAN FROM SIBERIAN LARCH  
(*LARIX SIBIRICA* LEDEB.) WOOD**

ANTONOVA G. F., USOV A. I.\*

*V. N. Sukachev Forest and Wood Institute, Siberian Branch of the Academy  
of Sciences of the USSR, Krasnoyarsk;\* N. D. Zelinsky Institute of Organic  
Chemistry, Academy of Sciences of the USSR, Moscow*

Structure of arabinogalactan from Siberian larch wood was investigated by methylation analysis, Smith degradation,  $^{13}\text{C}$ -NMR spectroscopy, partial acid hydrolysis, and alkaline degradation. Arabinogalactan was found to be a highly branched polymer containing 1→3-linked backbone of  $\beta$ -D-galactopyranosyl residues with branching points at C-6 of the majority of these residues. Side chains contain 3,6-di-O-substituted and 6-O-substituted galactopyranosyl residues, 3-O-substituted arabinofuranosyl residues, as well as arabinofuranosyl, arabinopyranosyl, and galactopyranosyl non-reducing terminal units.